

Proceeding Series of the Brazilian Society of Computational and Applied Mathematics

Equicomposição de polígonos e o cálculo de áreas

Rudimar Luiz Nós¹

Departamento Acadêmico de Matemática, UTFPR, Curitiba, PR

Flavia Mescko Fernandes²

Editora Positivo, Curitiba, PR

Resumo. Apresentamos neste trabalho o teorema de Wallace-Bolyai-Gerwien e empregamos a equicomposição de polígonos para provar a área do trapézio convexo. Além disso, analisamos alguns livros didáticos de matemática para o Ensino Fundamental aprovados no Programa Nacional do Livro Didático (PNLD) em 2015 e em 2016 para avaliar o quanto a equicomposição de polígonos é explorada no cálculo de áreas. Observamos que todos os autores das obras analisadas abordam a equicomposição, muitos deles em atividades lúdico-manipulativas.

Palavras-chave. O teorema de Wallace-Bolyai-Gerwien, quadratura, isometrias, área do trapézio, a equicomposição de Perigal.

1 Introdução

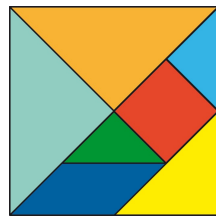
O cálculo de áreas foi uma das necessidades mais antigas das civilizações. Talvez pelo fato do quadrado ser a figura mais simples, os antigos geômetras tentaram estudar a área de outras figuras, como a do círculo por exemplo, relacionando-as com o quadrado. Assim, a expressão “quadratura” era empregada no sentido de se determinar um quadrado com área igual à área da figura em estudo, ou seja, de se construir um quadrado equivalente à figura.

Sobre a quadratura, a Base Nacional Comum Curricular - BNCC [13] diz o seguinte:

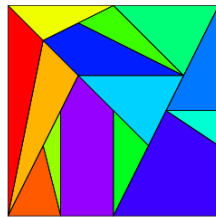
Assim, a Geometria não pode ficar reduzida à mera aplicação de fórmulas de cálculo de área e de volume e nem a aplicações numéricas imediatas de teoremas sobre relações de proporcionalidade em situações relativas a feixes de retas paralelas cortadas por retas secantes ou do teorema de Pitágoras. A equivalência de áreas, por exemplo, já praticada há milhares de anos pelos mesopotâmios e gregos antigos sem utilizar fórmulas, permite transformar qualquer região poligonal plana em um quadrado com mesma área (é o que os gregos chamavam “fazer a quadratura de uma figura”). Isso permite, inclusive, resolver geometricamente problemas que podem ser traduzidos por uma equação do 2º grau.

¹rudimarnos@utfpr.edu.br

²flavia_m.f@yahoo.com.br



(a)



(b)

Dois *puzzles* da antiguidade, o tangram e o *Stomachion* de Arquimedes, ilustrados na Figura 1, são dois bons exemplos do processo de quadratura. *Puzzle* é uma palavra inglesa usada para designar um enigma ou quebra-cabeça. O tangram é um quebra-cabeça chinês de sete peças poligonais que compõem um quadrado; o *Stomachion* de Arquimedes, um quebra-cabeça constituído de catorze peças poligonais que compõem um quadrado. Em ambos, o quociente entre a área de cada peça e a área do quadrado constituído por todas as peças é um número racional [6, 17]. Todas as figuras formadas com as peças poligonais de cada um desses dois *puzzles* têm a mesma área e são equidecomponíveis, ou seja, têm a mesma decomposição. Essa relação pode ser generalizada, isto é, dois polígonos que têm a mesma área são sempre equidecomponíveis?

Figura 1: (a) Tangram - [5];
(b) *Stomachion* - [17].

Para responder essa pergunta, abordamos a equicomposição apresentando o teorema de Wallace-Bolyai-Gerwien. A equicomposição de polígonos é um tema pertinente à formação do professor de matemática da Educação Básica, uma vez que a BNCC enfatiza o uso da mesma e ela tem sido explorada em testes oficiais, como o Exame Nacional do Ensino Médio (ENEM) e a Olimpíada Brasileira de Matemática das Escolas Públicas (OBMEP) - Figura 2.

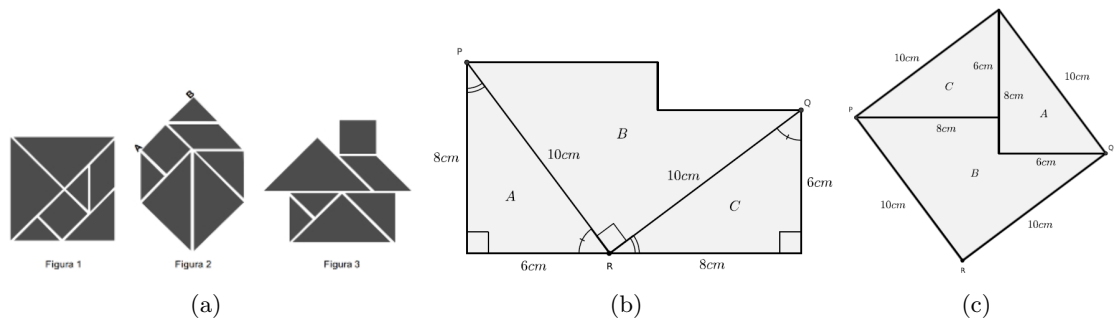


Figura 2: Equicomposição em testes: (a) ENEM 2008; (b) e (c) banco de questões da OBMEP 2016.

2 O teorema de Wallace-Bolyai-Gerwien

Definição 2.1 (Polígonos equidecomponíveis). *Dois polígonos P e P' são equidecomponíveis quando existem decomposições $P = P_1 \cup P_2 \cup P_3 \cup \dots \cup P_i \cup \dots \cup P_n$ e $P' = P'_1 \cup P'_2 \cup P'_3 \cup \dots \cup P'_i \cup \dots \cup P'_n$, de tal modo que cada polígono P_i , $1 \leq i \leq n$, é congruente ao polígono P'_i .*

Segundo Boltianski [3]:

Duas figuras são equicompostas (ou equidecomponíveis) se é possível decompor uma das figuras em um número finito de partes, e, por meio de um rearranjo dessas partes, compor a outra figura.

No rearranjo das peças, utilizamos duas isometrias no plano [10]: translações e rotações.

Para provar o teorema de Wallace-Bolyai-Gerwien, precisamos utilizar a propriedade de transitividade da equicomposição [6] e demonstrar o Teorema 2.1 e os Lemas 2.1 e 2.2. Essas demonstrações podem ser encontradas em [3, 6, 8, 9, 11]. Provaremos inicialmente o Lema 2.3, o qual estabelece a equicomposição entre polígonos e retângulos.

Teorema 2.1. *Todo polígono de n lados, $n \geq 4$, pode ser decomposto em $(n-2)$ triângulos justapostos cujos vértices são vértices do polígono.*

Lema 2.1. *Todo triângulo é equicomposto a um retângulo.*

Lema 2.2. *Dois retângulos que têm áreas iguais são equicompostos.*

Lema 2.3. *Todo polígono é equicomposto a um retângulo.*

Demonstração. Segundo o Teorema 2.1, todo polígono pode ser decomposto em um número finito de triângulos. Cada um destes triângulos, conforme o Lema 2.1, é equicomposto a um retângulo. Mas, de acordo com o Lema 2.2, cada um desses retângulos é equicomposto a um retângulo de mesma área. Suponhamos então que b seja a medida da base de cada um desses retângulos. Dessa forma, por transitividade, os triângulos 1, 2, 3, 4, 5, ... nos quais foi decomposto o polígono original são equicompostos, respectivamente, aos retângulos I, II, III, IV, V, \dots de base b . Construindo com estes retângulos um único retângulo de base b , temos que o mesmo é equicomposto ao polígono original, como ilustra a Figura 3.

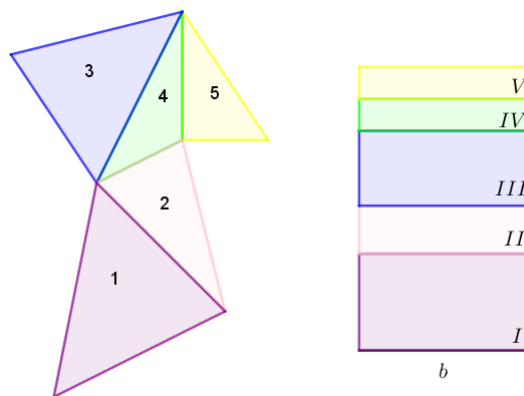


Figura 3: Polígono equicomposto a um retângulo - [6].

□

Teorema 2.2 (Wallace-Bolyai-Gerwien). *Dois polígonos que têm áreas iguais são equicompostos.*

Demonstração. Segundo o Lema 2.3, os dois polígonos são equicompostos a retângulos. Como estes retângulos têm a mesma área, pelo Lema 2.2 são equicompostos. Logo, os dois polígonos são equicompostos. \square

Ilustramos o teorema de Wallace-Bolyai-Gerwien com a Figura 4, a qual mostra um quadrado e um triângulo equicompostos.



Figura 4: Quadrado e triângulo equicompostos - [16].

3 Calculando áreas por equicomposição

Podemos provar a relação para o cálculo da área de um polígono convexo por equicomposição empregando o Lema 2.3. Para tanto, devemos provar inicialmente a área do retângulo [6]. Na sequência, demonstramos por equicomposição a relação para o cálculo da área de um trapézio convexo.

Teorema 3.1. *A área do trapézio convexo de bases de medida B e b e altura de medida h é $\frac{B+b}{2}h$.*

Demonstração. Seja o trapézio $ABCD$, tal que $\overline{AB} = B$ é a base maior e $\overline{CD} = b$ é a base menor, conforme ilustra a Figura 5.

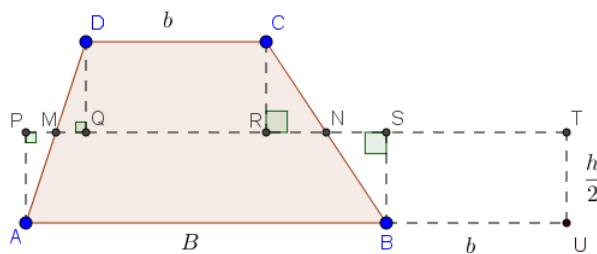


Figura 5: Trapézio equicomposto a um retângulo - [6].

Sejam M e N os pontos médios dos lados não paralelos \overline{AD} e \overline{BC} , respectivamente. Marcamos os pontos P, Q, R e S tal que $\overline{AP}, \overline{DQ}, \overline{CR}$ e \overline{BS} são perpendiculares à \overleftrightarrow{MN} . Além disso, construímos $\overline{ST} \equiv \overline{BU} \equiv \overline{CD} \equiv \overline{RQ} = b$, com $\overline{TU} \perp \overline{BU}$ e $\overline{TU} = \frac{h}{2}$, onde h é a medida da altura do trapézio.

Assim, constatamos pelo caso ALA_o (ângulo-lado-ângulo oposto) para triângulos retângulos, que $\Delta APM \equiv \Delta DQM$, pois:

$$\widehat{AMP} \equiv \widehat{DMQ}, \text{ uma vez que são ângulos opostos pelo vértice;}$$

$$\overline{AM} \equiv \overline{DM}, \text{ uma vez que } M \text{ é ponto médio de } \overline{AD};$$

$$\widehat{APM} \equiv \widehat{DQM} = 90^\circ, \text{ por construção.}$$

Analogamente, comprovamos que $\Delta CRN \equiv \Delta BSN$.

Como, por construção, os retângulos $CDQR$ e $TSBU$ são congruentes, o trapézio $ABCD$ é equicomposto ao retângulo $AUTP$, de base de medida $(B + b)$ e altura de medida $\frac{h}{2}$. Assim, sabendo que a área do retângulo é dada pelo produto entre as medidas da base e da altura, obtemos para a área \mathcal{A} do trapézio $ABCD$:

$$\mathcal{A}(ABCD) = \mathcal{A}(AUTP) = \overline{AU} \times \overline{TU} = (B + b) \times \frac{h}{2} = \frac{B + b}{2}h.$$

□

O teorema de Pitágoras também pode ser provado por equicomposição.

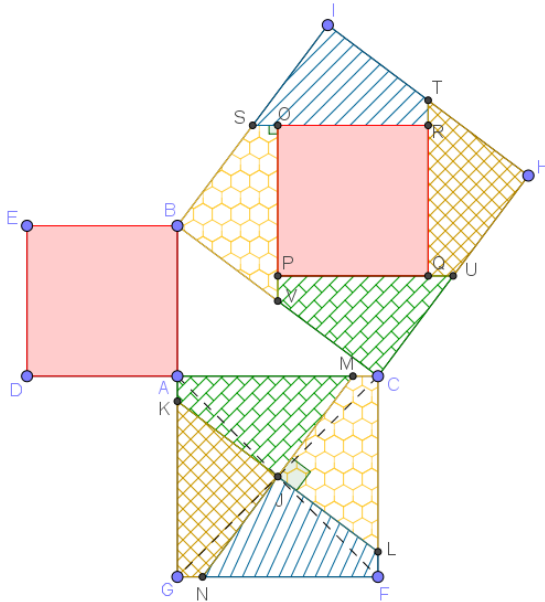


Figura 6: Equicomposição de Perigal - [6].
 por equicomposição estão presentes em [12].

Uma dessas provas é a equicomposição de Perigal (Henry Perigal: 1801-1898). Na demonstração por equicomposição, Perigal seccionou o quadrado $ACFG$, construído sobre o maior cateto \overline{AC} , por duas retas \overleftrightarrow{KL} e \overleftrightarrow{MN} passando pelo seu centro J , de tal forma que \overline{KL} é paralelo à hipotenusa \overline{BC} e perpendicular à \overline{MN} (\overline{KL} e \overline{MN} são as diagonais do losango $KMLN$, portanto perpendiculares). Dessa forma, é possível mostrar que o quadrado $ACFG$ é dividido em quatro quadriláteros congruentes. Essas quatro partes, mais o quadrado construído sobre o menor cateto \overline{AB} , quando rotacionadas e transladadas, preenchem completamente o quadrado construído sobre a hipotenusa \overline{BC} , como mostra a Figura 6. Outras demonstrações do teorema de Pitágoras

4 Análise de livros didáticos

• Na atividade 4 (p. 179), precisamos transformar dois quadrados em um único quadrado, de área equivalente, como na transformação a seguir:

A partir do segmento de medida EB , construímos um quadrado cujos lados tenham essa medida e cuja área seja equivalente à soma das áreas dos dois quadrados iniciais.

Para provar que as áreas são equivalentes, precisamos mostrar a congruência de alguns triângulos:

- $\triangle FEH$ e $\triangle JBI$:
 $EH = BI$, pois são medidas de lado de um mesmo quadrado.
 $\widehat{FEH} \cong \widehat{JBI}$, pois são ângulos retos.
 $\widehat{FÊH} \cong \widehat{J\hat{B}I}$, pois $FE \parallel JB$ e $EH \parallel BI$

Logo, são congruentes pelo caso LAAo.

- $\triangle LAB$ e $\triangle MJ$:
 $\widehat{BAD} \cong \widehat{J\hat{I}G}$, pois são ângulos retos.
 $\widehat{ABL} \cong \widehat{JIM}$, pois $AB \parallel JI$ e $EB \parallel HI$
 $AB = JI$, pois $\triangle JBI \cong \triangle CEB$ (por LAL), ou seja, $CB = JI$, e $AB = CB = JI$

- $\triangle HGM$ e $\triangle EDL$:
 $\widehat{HGM} \cong \widehat{EDL}$, pois são ângulos retos.
 $\widehat{MHG} \cong \widehat{LÊD}$, pois $EB \parallel HI$ e $ED \parallel HG$
 $EL = HM$, pois $EL = EB - LB = HI - MI = HM$

Portanto, o quadrado $EBHI$ tem área equivalente à área dos quadrados iniciais.

Figura 7: Orientações metodológicas sobre a equicomposição de quadrados - [7].

apresentadas, mas os conceitos e ideias utilizados nelas são abordados na solução das atividades propostas. Destacamos em [7] as orientações metodológicas: nelas, a autora apresenta para o professor de matemática do Ensino Fundamental todos os passos para a construção da solução dos problemas propostos, com as demonstrações de cada etapa, como ilustra a Figura 7.

A avaliação completa dos livros analisados encontra-se em [6].

5 Conclusões

Apresentamos neste trabalho o teorema de Wallace-Bolyai-Gerwien e empregamos a equicomposição de polígonos para demonstrar a relação para o cálculo da área do trapézio convexo. Em consonância com o que diz a BNCC sobre a equicomposição de polígonos, analisamos livros didáticos de matemática para o Ensino Fundamental aprovados no PNLD em 2015 e 2016. Verificamos que todos os autores das obras analisadas abordam a equicomposição no cálculo da área de polígonos convexos. Como testes oficiais, entre eles o ENEM por exemplo, têm explorado a equicomposição e os resultados dos estudantes das escolas públicas nesses testes não têm sido satisfatórios, perguntamo-nos o quanto o professor de matemática do Ensino Fundamental tem utilizado/explorado o livro didático de matemática oferecido pelo governo federal no PNLD.

Agradecimentos

À CAPES, pela recomendação do PROFMAT por meio do parecer do Conselho Técnico Científico da Educação Superior e pelo incentivo financeiro.

Referências

- [1] E. Bianchini. *Matemática Bianchini*, 8. ed., v. 7. Moderna, São Paulo, 2015.
- [2] A. J. L. Bigode. *Matemática do cotidiano*, v. 6. Scipione, São Paulo, 2015.
- [3] V. G. Boltianski. *Figuras equivalentes e equicompostas*. Atual, São Paulo, 1996.
- [4] M. Centurión e J. Jakubovic. *Matemática nos dias de hoje, 6º ano: na medida certa*, v. 6. Leya, São Paulo, 2015.
- [5] Escolar. *Tangram*, 2015. Disponível em: <http://www.buscaescolar.com/artes/tangram/>. Acesso em: 05.fev.2018.
- [6] F. M. Fernandes, Polígonos e poliedros equidecomponíveis, Dissertação de Mestrado, UTFPR, 2018.
- [7] M. R. G. Gay. *Projeto araribá matemática*, 4. ed., v. 9. Moderna, São Paulo, 2014.
- [8] D. Hilbert. *Fundamentos de geometria*. Gradiva, Lisboa, 2003.
- [9] F. Y. Kagoiki, Figuras equidecomponíveis, Monografia de Conclusão de Curso, UFSC, 2001.
- [10] E. L. Lima. *Isometrias*. SBM, Rio de Janeiro, 2007.
- [11] E. L. Lima. *Conceitos e controvérsias - polígonos equidecomponíveis*, 1985. Disponível em: <http://rpm.org.br/cdrpm/11/5.htm>. Acesso em: 05.fev.2018.
- [12] E. S. Loomis. *The pythagorean proposition*. National Council of Teachers of Mathematics, Washington, 1968.
- [13] MEC. *Base Nacional Comum Curricular*, 3 ed. Ministério da Educação, Brasília, 2017.
- [14] E. Silveira. *Matemática - Compreensão e prática*, 3. ed., v. 9. Moderna, São Paulo, 2015.
- [15] J. Souza e P. M. Pataro. *Vontade de saber matemática*, 3. ed., v. 8. FTD, São Paulo, 2015.
- [16] Wikipedia. *Wallace-Bolyai-Gerwien theorem*, 2017. Disponível em: https://en.wikipedia.org/wiki/Wallace-Bolyai-Gerwien_theorem. Acesso em: 05.fev.2018.
- [17] WolframMathWorld. *Stomachion*. Disponível em: <http://mathworld.wolfram.com/Stomachion.html>. Acesso em: 25.abr.2018.